

舞籠工業高等専門学校 正 田中祐一朗

1. はしがき. Blest¹⁾は血液流動を対称として, 90°分岐管路における粘性流について, N·S式を数値解析することにより, 分岐部周辺の流線形状の考察を行なった. 本報告は排水路分水工周辺の流線について, その拡張を図ったものである.

2. 実験結果. 筆者らの従来の実験によると,²⁾ 次のような結果を得た.

1) 流量配分比 K と, 流砂量配分比 K_s との関係は室田の実験式とは一致する.

2) 分岐部周辺では図1に示すように, 二次流

により, 壁面流線は中流以上のものに比べて大きく振れて分水路へ流入するのが特徴である. このため分水路への流れ込み中は室田とそれ以上のものとは大きく変化している.

しかし(図2に見るよう) 図2. 流れ込み流量に, 流れ込み中に流速を乗じた流れ込み流量は水深方向にはほぼ一様になり, 流れ込み中の主水路中に対する比は流量配分比 K と一致する.

3) K を予測する従来の算定法は精度上十分でない。

以上のことから, 分岐部周辺での水流と流砂の機構を考える第一歩として, 流線解析を行なうことは重要であると考えられる.

3. 基礎方程式. 底面流線も含めた流れの機構を一度に考えることは複雑であるため, ここでは中流以上の流れについて考察することにし, 単位水深当りの二次元問題として取り扱っていく. 図3のように記号すると, 流れの連続条件は $Q_1 = Q_2 + Q_3$ (1) 分岐の影響を考慮しない流れは2平行壁間の流れとして知られており, 流速分布は次のようになる.

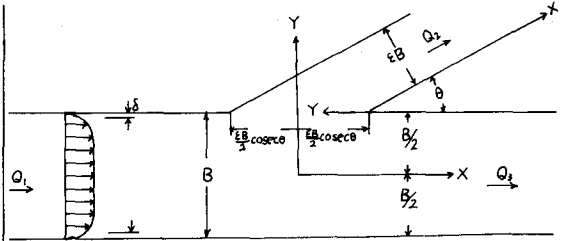


図3. 記号説明図

$$u_c - u_0(y) = \frac{1}{K} \left(\ln \frac{1 + \sqrt{2|y|/B}}{1 - \sqrt{2|y|/B}} - 2 \frac{\sqrt{2|y|}}{B} \right) \dots (2)$$

2次元の Euler の運動方程式と連続式は,

$$\left. \begin{aligned} u \frac{\partial u}{\partial x} + v \frac{\partial u}{\partial y} &= X - \frac{1}{\rho} \frac{\partial p}{\partial x} \\ u \frac{\partial v}{\partial x} + v \frac{\partial v}{\partial y} &= Y - \frac{1}{\rho} \frac{\partial p}{\partial y} \end{aligned} \right\} \dots (3)$$

$$\frac{\partial u}{\partial x} + \frac{\partial v}{\partial y} = 0 \dots (4)$$

これを一流線と分岐の影響による変動項とに分けて,

$$\left. \begin{aligned} u(x, y) &= u_0(y) + u'(x, y) \\ v(x, y) &= v'(x, y) \end{aligned} \right\} \dots (5)$$

$$p(x, y) = p_0(x) + p'(x, y) \dots (6)$$

$$u' = \frac{\partial \psi'}{\partial y}, \quad v' = - \frac{\partial \psi'}{\partial x} \dots (7)$$

を導入して, 図3での x 軸を壁面に移動することにより無次元化した次の基礎式を得る。(以下記号略)

$$\frac{\partial}{\partial x} (\nabla^2 \psi') + \frac{1}{K} \frac{c(y)}{D(y)} \frac{\partial \psi'}{\partial x} = 0 \dots (8)$$

$$\text{ただし } \nabla^2 = \frac{\partial^2}{\partial x^2} + \frac{\partial^2}{\partial y^2} \dots (9)$$

$$c(y) = \left\{ 2\sqrt{|y|} (2 + \sqrt{|y|}) \right\} / (1 - 2\sqrt{|y|})^2 \dots (10)$$

$$D(y) = \sqrt{\frac{5}{A} \frac{R}{B} (1 - \frac{K}{2})} + \frac{1}{K} \left(\ln \frac{1 + \sqrt{A}}{1 - \sqrt{A}} - 2\sqrt{A} \right) - \frac{1}{K} \left(\ln \frac{1 + \sqrt{12|y|-1}}{1 - \sqrt{12|y|-1}} - 2\sqrt{12|y|-1} \right) \dots (11)$$

$$A = 1 - \delta/B, \quad K = Q_2/Q_1, \quad R = Q_1/\nu \dots (12)$$

全流線函数を一流線によるものと分岐による変動項との和として,

$$\begin{aligned} \psi &= \psi_0 + \psi' \\ &= u_c y - \frac{u_c}{K} \left\{ (1 - \frac{1}{2}|1 - \frac{1}{2}|) \right\} \ln \frac{1 + \sqrt{12|y|-1}}{1 - \sqrt{12|y|-1}} \\ &\quad + \sqrt{12|y|-1} - \frac{2}{3} (12|y|-1)^{3/2} + c + \psi' \dots (13) \end{aligned}$$

ここで,

$$c = \frac{u_c^2 (\delta/B)^2}{2\nu} - u_c \frac{\delta}{B} + \frac{u_c}{K} \left\{ \left(\frac{\delta}{B} - \frac{1}{2} |1 - \frac{1}{2}| \right) \ln \frac{1 + \sqrt{A}}{1 - \sqrt{A}} + \sqrt{A} - \frac{2}{3} \sqrt{A} \right\} \dots (14)$$

であり, また

主水路上流: $u_x = \sqrt{\frac{Q_1}{B} \left(\frac{\delta A}{\Delta} \right)}, u_c = \frac{Q_1}{AB} \dots (15)$

主水路下流: $u_x = \sqrt{\frac{Q_2}{B} \left(\frac{\delta A}{\Delta} \right)}, u_c = \frac{Q_2}{AB} \dots (16)$

また側壁での境界条件は次のようである。

$y = \frac{\delta}{B}$ のとき, $(-\infty < x < \infty)$
 $\bar{\Psi} = u_x^2 \left(\frac{\delta}{B} \right)^2 / 2L \dots (17)$

$y = 1 - \frac{\delta}{B}$ のとき, $(-\infty < x < -\frac{\delta}{2} B \text{ cosec } \theta, \frac{\delta}{2} B \text{ cosec } \theta < x < \infty)$
 $\bar{\Psi} = u_c A + u_x^2 \left(\frac{\delta}{B} \right)^2 / 2L \dots (18)$

分水路での基礎方程式および境界条件も、これまでと全く同様の手続きにより次のようになる。

$\frac{\partial}{\partial x} (\nabla^2 \psi) + \frac{1}{K} \frac{C'(y)}{D'(y)} \frac{\partial \psi}{\partial x} = 0 \dots (19)$

ここに, $\nabla^2 = \frac{\partial^2}{\partial x^2} + \text{cosec } \theta \frac{\partial^2}{\partial y^2} \dots (20)$

$C'(y) = \frac{\sqrt{\frac{\delta}{\epsilon} |y \sin \theta - \frac{\delta}{2}|} \left(2 + \frac{\delta}{\epsilon} |y \sin \theta - \frac{\delta}{2}| \right)}{\left(1 - \frac{\delta}{\epsilon} |y \sin \theta - \frac{\delta}{2}| \right)^2} \dots (21)$

$D'(y) = \sqrt{\frac{\delta}{\epsilon} \frac{R}{A' EB} K(2-K)} + \frac{1}{K} \left(\ln \frac{1+\sqrt{A'}}{1-\sqrt{A'}} - 2\sqrt{A'} \right)$

$-\frac{1}{K} \left\{ \ln \frac{1 + \sqrt{\frac{\delta}{\epsilon} |y \sin \theta - \frac{\delta}{2}|}}{1 - \sqrt{\frac{\delta}{\epsilon} |y \sin \theta - \frac{\delta}{2}|}} - 2\sqrt{\frac{\delta}{\epsilon} |y \sin \theta - \frac{\delta}{2}|} \right\} \dots (22)$

$A' = 1 - \frac{\delta}{\epsilon B} \dots (23)$

また下流端条件は

$\bar{\Psi} = \psi_0 + \psi'$
 $= u_c y - \frac{\epsilon}{\sin \theta} \frac{u_x}{K} \left\{ \left(\frac{\sin \theta}{\epsilon} y - \frac{1}{2} \right) \ln \frac{1 + \sqrt{\frac{\delta}{\epsilon} |y \sin \theta - \frac{\delta}{2}|}}{1 - \sqrt{\frac{\delta}{\epsilon} |y \sin \theta - \frac{\delta}{2}|}} - \frac{2}{3} \left(\frac{\delta}{\epsilon} |y \sin \theta - \frac{\delta}{2}| \right)^{3/2} \right\} + C' + \psi' \dots (24)$

ここに,
 $C = \frac{u_x^2 \delta^2}{2L(\epsilon B)^2} - \frac{u_c \delta}{\sin \theta \epsilon B} + \frac{\epsilon}{\sin \theta} \frac{u_x}{K} \left\{ \sqrt{\frac{\delta}{\epsilon} \left| \frac{\delta}{\epsilon B} - \frac{\delta}{2} \right|} - \frac{2}{3} \left(\frac{\delta}{\epsilon} \left| \frac{\delta}{\epsilon B} - \frac{\delta}{2} \right| \right)^{3/2} + \left(\frac{\delta}{\epsilon B} - \frac{1}{2} \right) \ln \frac{1 + \sqrt{\frac{\delta}{\epsilon} \left| \frac{\delta}{\epsilon B} - \frac{\delta}{2} \right|}}{1 - \sqrt{\frac{\delta}{\epsilon} \left| \frac{\delta}{\epsilon B} - \frac{\delta}{2} \right|}} \right\} \dots (25)$

$u_x = \sqrt{\frac{Q_2}{\epsilon B \left(\frac{\delta A}{\Delta} \right)}}, u_c = \frac{Q_2 \sin \theta}{\epsilon^2 B - 2\delta} \dots (26)$

また壁面での境界条件は,

$y = \delta \text{ cosec } \theta / \epsilon B$ のとき, $(0 < x < \infty)$
 $\bar{\Psi} = u_x^2 \delta^2 / 2L (\epsilon B)^2 \dots (27)$

$y = \epsilon \text{ cosec } \theta \left(1 - \frac{\delta}{\epsilon B} \right)$ のとき, $(0 < x < \infty)$
 $\bar{\Psi} = u_c \frac{\epsilon}{\sin \theta} + \frac{u_x^2 \delta^2}{2L (\epsilon B)^2} \dots (28)$

となる。

4. 数値計算. 問題は主流に角しては(11)~

(19)の条件の下で(8)式を, また分流については(23)~(28)の条件の下で(19)式を解くことに帰着する。差分スキームとしては中央差分法を用いることにすると, (8)および(28)式はそれぞれ次のようになる。

$E(i) [\psi(\lambda+1, j) - \psi(\lambda-1, j)] + [\psi(\lambda+3, j) - \psi(\lambda-3, j)] - \lambda^2 [\psi(\lambda+1, j+2) + \psi(\lambda+1, j-2) - \psi(\lambda-1, j+2) - \psi(\lambda-1, j-2)] = 0 \dots (29)$

$E(j) = [3 + 2\lambda^2 - \frac{4}{K} \frac{C'(y(j))}{D'(y(j))} \Delta x^2] \dots (30)$

$\lambda = \Delta x / \Delta y \dots (31)$

$T(j) [\psi(\lambda+1, j) - \psi(\lambda-1, j)] + [\psi(\lambda+3, j) - \psi(\lambda-3, j)] - \lambda^2 \text{cosec } \theta [\psi(\lambda+1, j+2) + \psi(\lambda+1, j-2) - \psi(\lambda-1, j+2) - \psi(\lambda-1, j-2)] = 0 \dots (32)$

$T(j) = [3 + 2\lambda^2 \text{cosec } \theta - \frac{4}{K} \frac{C'(y(j))}{D'(y(j))} \Delta x^2] \dots (33)$

(29), (32)式の連立方程式の解

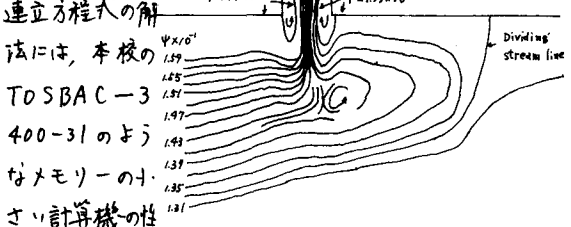


図4. Blestによる結果

共役傾斜法を用いることにした。図4にはBlestの計算結果を示す。彼は予測子修正手法と云う手法を用い、超大型計算機を駆使して、合計7890と云う驚くべき数のメッシュ点に於いて計算を行ない、図に見るような渦領域も含めた極めて詳細な流れを描いている。これに対し、本解析では中型コンピュータを用いたこともあり、その計算精度はBlestに比べべきもない。スペースの関係上、計算結果は発表日に図示するが、流れ関数の定義より、 $\psi(y) = \int^y u(y) dy \dots (34)$ となり、 ψ は一方の岸より他方の岸への累加流量を意味することになる。(2)式で用いた流速分布も、側壁の近傍を除けばほぼ一様分布に近く、(したがって)分水後の下流側の壁面での ψ の値は上流のそれより $(1-K)$ だけ小さく、であり、このことから先述の実験結果(2)は当然のこととして説明できることになる。本研究は昭和51、52両年度における本校学生の卒業研究として行な、たものであり、その一部に昭和51年度科研費(災害(2))の補助を頂けたことを併記して謝意を表す。

文献: 1) Blest, D.C. A.S.C.E.-HYI, 1972, 2) 田中川合, 32, 31, 30年講